

## Øving 5

torsdag 24. oktober 2024 10:22

- a) Det kan være lurt å ikke anvende kreftene  $F_1$  og  $F_2$  direkte<sup>1</sup> som pådrag, men heller nettokraften  $u_h$  og differenskraften  $u_\vartheta$  gitt av

$$u_h = F_1 + F_2 - Mg, \quad u_\vartheta = F_2 - F_1. \quad (3)$$

Bestem  $F_1$  og  $F_2$  som funksjoner av  $u_h$  og  $u_\vartheta$ .

$$F_1 = F_2 - u_\vartheta$$

$$u_h = (F_2 - u_\vartheta) + F_2 - Mg$$

$$F_2 = \frac{u_h + u_\vartheta + Mg}{2}$$

$$F_1 = \frac{u_h + u_\vartheta + Mg}{2} - u_\vartheta = \frac{u_h + Mg - u_\vartheta}{2}$$

- b) Under antagelsene  $|\vartheta| \ll 1$  og  $|u_h| \ll 1$ , vis at dronens bevegelse kan modelleres lineært med:

$$\ddot{p} = g\vartheta, \quad (4a)$$

$$\ddot{h} = M^{-1}u_h, \quad (4b)$$

$$\ddot{\vartheta} = J^{-1}\ell u_\vartheta. \quad (4c)$$

$$J\ddot{\vartheta} = \ell \underbrace{(F_1 - F_2)}_{-u_\vartheta} \Rightarrow \boxed{\ddot{\vartheta} = -J^{-1}\ell u_\vartheta}$$

$$M\ddot{h} = \cos(\vartheta)(F_1 + F_2) - Mg$$

$$|\vartheta| \ll 1 \Rightarrow \cos(\vartheta) \approx 1$$

$$\Rightarrow \boxed{\ddot{h} = M^{-1}u_h}$$

$$M\ddot{p} = \sin(\vartheta)(F_1 + F_2)$$

$$|\vartheta| \ll 1 \Rightarrow \sin(\vartheta) \approx \vartheta$$

$$M\ddot{p} = \vartheta(u_h + Mg)$$

$$|u_h| \ll 1 \Rightarrow \underline{u_h \approx 0}$$

$$|u_n| \ll 1 \Rightarrow u_n \approx 0$$

$$\Rightarrow M\ddot{p} = J M_g \Rightarrow \boxed{\ddot{p} = g J}$$

c) Med (4), beregn overføringsfunksjonene  $G_h(s)$  og  $G_p(s)$  slik at

$$\hat{p}(s) = G_h(s)\hat{u}_\vartheta(s), \quad \hat{h}(s) = G_p(s)\hat{u}_h(s). \quad (5)$$

Finn egenverdiene i (4) - hva kan disse fortelle deg om systemets stabilitet? Beregn impulsresponsene forbundet med  $G_h(s)$  og  $G_p(s)$  og sjekk om de samsvarer med dine betraktninger rundt stabilitet.

$$\ddot{h} = M^{-1}u_h \Rightarrow \hat{\ddot{h}} = M^{-1}\hat{u}_h$$

$$\hat{\ddot{h}} = s^2 \hat{h} \Rightarrow \hat{h} = \frac{1}{s^2 M} \hat{u}_h = G_h(s)$$

$$\ddot{p} = g J \Rightarrow s^2 \hat{p} = g \hat{J}$$

$$\hat{J} = J^{-1} \ell u_\vartheta \Rightarrow s^2 \hat{p} = J^{-1} \ell \hat{u}_\vartheta \Rightarrow \hat{p} = \frac{1}{s^2 J} \ell \hat{u}_\vartheta$$

$$\hat{p} = \frac{g \ell}{s^4 J} \hat{u}_\vartheta = G_p(s)$$

Egenverdiene i (4) er polene til  $G_p$  og  $G_h$ :

$$G_p: \lambda_{1,2,3,4} \approx 0 \text{ og } G_h: \lambda_{1,2} = 0$$

$\text{Re}(\lambda_i) < 0$  stemmer ikke for eg.verdiene, så systemet er ikke stabilt.

Impulsrespons:

$$\mathcal{L}^{-1}(G_h(s)) = \frac{1}{M} \cdot t = \underline{\underline{\frac{1}{2}t}}$$

$$\mathcal{L}(t^n) = \frac{n!}{s^{n+1}}$$

$$\mathcal{L}^{-1}(G_p(s)) = \frac{g \ell}{J 3!} \cdot \mathcal{L}^{-1}\left(\frac{3!}{s^4}\right) = \frac{g \ell}{6J} \cdot t^3 = \underline{\underline{5t^3}}$$

Begge går mot  $\infty$  når  $t \rightarrow \infty$ , så

Systemet er ustabilt.

a) Basert på (4), lag et reguleringsystem med  $\vartheta_{\text{ref}}$  som referanse slik at

$$\hat{\vartheta}(s) = \frac{\omega_0^2}{(s + \omega_0)^2} \hat{\vartheta}_{\text{ref}}(s), \quad \omega_0 = 10. \quad (6)$$

Her trenger du en regulator på formen

$$\hat{u}_{\vartheta}(s) = F(s) \hat{\vartheta}_{\text{ref}}(s) - K(s) \hat{\vartheta}(s). \quad (7)$$

Skissér et Bodeplot av følgeforholdet i systemet. Vurder hvorvidt antagelsen  $\vartheta_{\text{ref}} \approx \vartheta$  er gyldig under vanlig manøvrering.

$$\ddot{\vartheta} = j^{-1} \ell u_{\vartheta} \Rightarrow s^2 \hat{\vartheta} = \frac{\ell}{j} \hat{u}_{\vartheta}$$

$$s^2 \hat{\vartheta} = \frac{\ell}{j} (F \hat{\vartheta}_{\text{ref}} - K \hat{\vartheta})$$

$$s^2 \hat{\vartheta} \frac{j}{\ell} = F \hat{\vartheta}_{\text{ref}} - K \hat{\vartheta}$$

$$\Rightarrow \frac{\hat{\vartheta}}{\hat{\vartheta}_{\text{ref}}} = \frac{F}{s^2 \cdot \frac{j}{\ell} + K} = \frac{\frac{\ell}{j} F}{s^2 + \frac{\ell}{j} K} = \frac{\omega_0^2}{(s + \omega_0)^2}$$

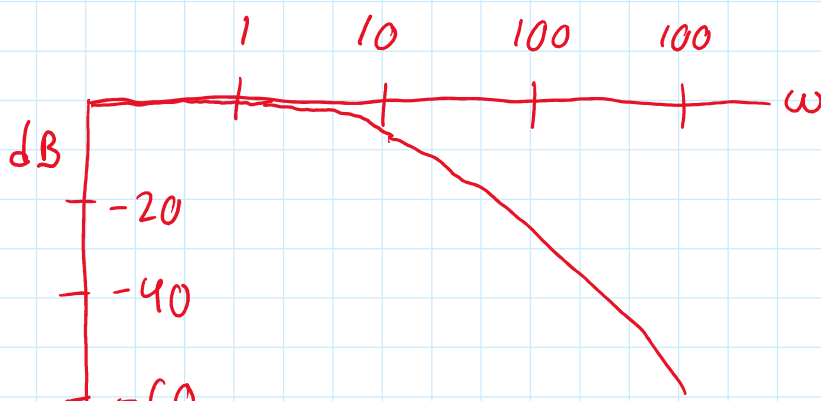
$$\Rightarrow F = \frac{j}{\ell} \omega_0^2 \text{ og } K = \frac{j}{\ell} (\omega_0^2 + 2\omega_0 s)$$

$$\text{Følgeforhold: } M(s) = \frac{\omega_0^2}{(s + \omega_0)^2} = \frac{100}{(s + 10)^2}$$

$$M(j\omega) = \frac{100}{(j\omega + 10)^2}$$

$$|z| = \left| \frac{z_1}{z_2} \right| \Rightarrow \frac{|100|}{|(j\omega + 10)^2|} = \frac{100}{|j\omega + 10|^2}$$

$$= \frac{100}{(\sqrt{\omega^2 + 10^2})^2} = \frac{100}{\omega^2 + 100}$$



-60

$\vartheta_{\text{ref}} \approx \vartheta$  når  $\omega < 10 \text{ Hz}$  hvis vi kun ser på magnituden.  $\omega < 10 \text{ Hz}$  kan sees på som vanlig manøvrering.

- b) Det vil være en viss treghet i motorene. Dette medfører at den *egentlige* differenskraften  $u_{\vartheta}^*$  oppfører seg mer som

$$\hat{u}_{\vartheta}^*(s) = \frac{1}{Ts + 1} \hat{u}_{\vartheta}(s). \quad (8)$$

Med regulatoren fra oppgave a), vis at det nye følgeforholdet blir

$$\hat{\vartheta}(s) = \frac{\omega_0^2}{Ts^3 + (s + \omega_0)^2} \hat{\vartheta}_{\text{ref}}(s). \quad (9)$$

$$\ddot{\vartheta} = \frac{1}{J} \ell u_{\vartheta} \Rightarrow s^2 \hat{\vartheta} = \frac{\ell}{J} \hat{u}_{\vartheta}$$

$$s^2 \hat{\vartheta} = \frac{\ell}{J} \left( \frac{1}{Ts + 1} \hat{u}_{\vartheta} \right) = \frac{\ell}{J} \left( \frac{F \vartheta_{\text{ref}} - k \hat{\vartheta}}{Ts + 1} \right)$$

$$\hat{\vartheta} = \frac{\ell}{Js^2} \cdot \frac{1}{Ts + 1} \cdot \left( \frac{J}{\ell} \omega_0^2 \vartheta_{\text{ref}} - \frac{J}{\ell} (\omega_0^2 + 2\omega_0 s) \hat{\vartheta} \right)$$

$$s^2 (Ts + 1) \hat{\vartheta} + (\omega_0^2 + 2\omega_0 s) \hat{\vartheta} = \omega_0^2 \vartheta_{\text{ref}}$$

$$\hat{\vartheta} (Ts^3 + s^2 + \omega_0^2 + 2\omega_0 s) = \omega_0^2 \vartheta_{\text{ref}}$$

$$\hat{\vartheta} = \frac{\omega_0^2}{Ts^3 + (s + \omega_0)^2} \vartheta_{\text{ref}}$$

Bruk Routh-Hurwitz kriteriet<sup>2</sup> for å finne den største  $T$ 'en som kan tolereres i (9) før systemet blir ustabilt. Test svaret ved å beregne sprangresponsen for et utvalg av  $T$ 'er og sammenlign med det nominelle tilfellet hvor  $T = 0$ . På hvilken måte er motorenes treghet vesentlig for systemets oppførsel?

$$\hat{\vartheta} = \frac{\omega_0^2}{Ts^3 + (s + \omega_0)^2} \vartheta_{\text{ref}}$$

$$y'' - T s^3 + (s + \omega_0)^2 y = 1 e^t$$

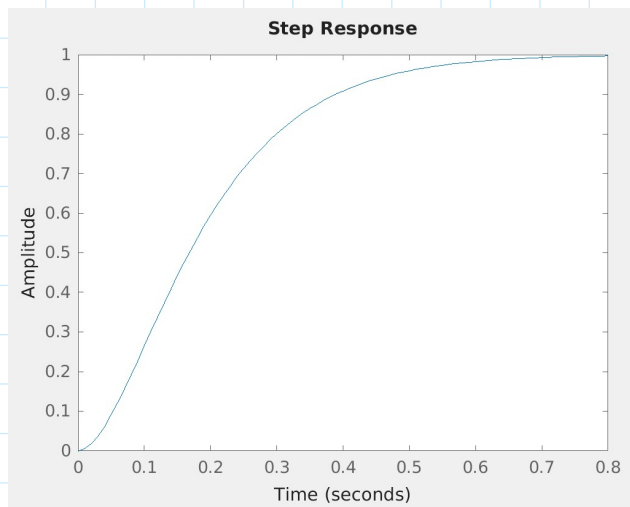
$$\hat{\varphi} = \frac{\omega_0^2}{T s^3 + s^2 + 2\omega_0 s + \omega_0^2} \varphi_{ref}$$

$$a_3 = T \quad a_2 = 1 \quad a_1 = 20 \quad a_0 = 100$$

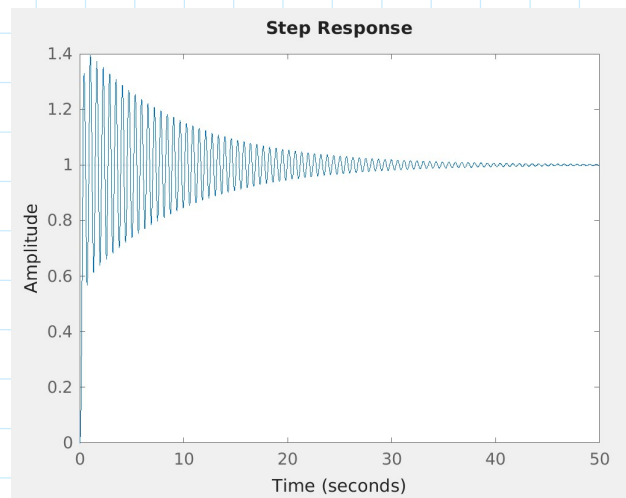
$$\frac{a_2 a_1 - a_0 a_3}{a_2} = 20 - 100T$$

$T > \frac{1}{5}$  gjør systemet ustabilt

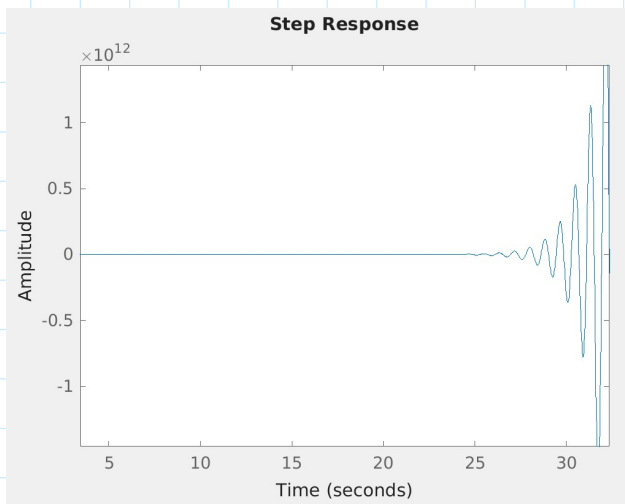
$$T=0$$



$$T=0,19$$



$$T=0,4$$



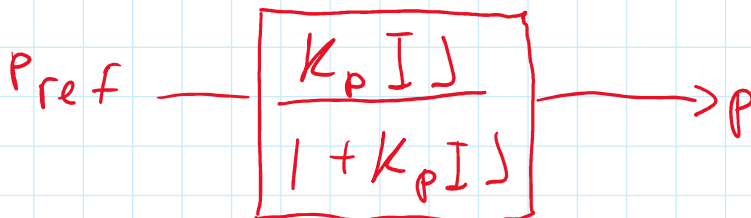
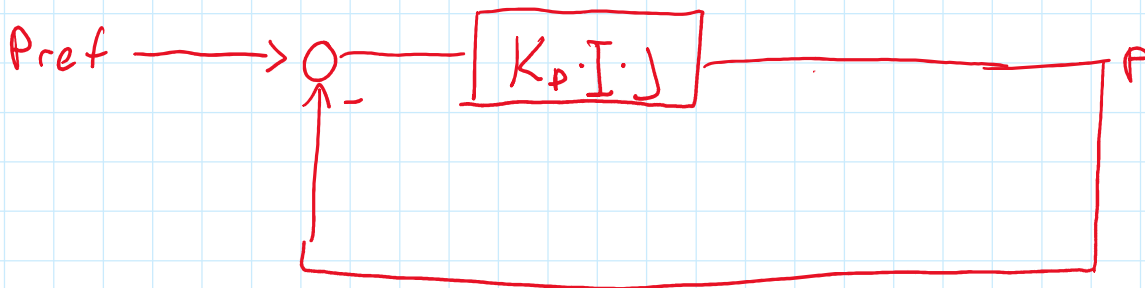
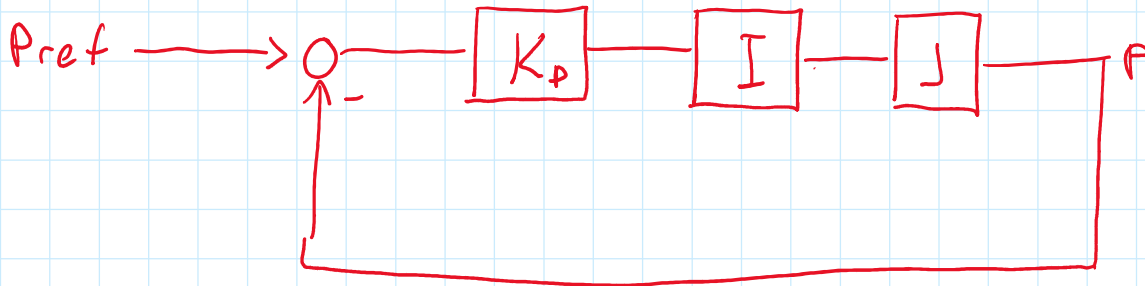
Vi når aldri pitch-referansen  
pga motorenes treghet når  $T > 0,2$

- d) De trege motorene er et eksempel på *umodellert dynamikk* - et fenomen som det ikke har blitt tatt høyde for den matematiske modellen. På generell basis - er det rimelig å anta at *alle* fenomener er tatt høyde for i en matematisk modell?

Nei, fordi det er alt for mange fenomener til  
å få med alt i en modell.

a) Betrakt (2). Lukk sløyfen rundt pitchregulatoren med en PD-regulator  $K_p(s)$  for å få  $p \rightarrow p_{\text{ref}}$ . Anvend  $\vartheta_{\text{ref}}$  som pådrag slik det er vist i fig. 2.

Sett polene slik at  $\lambda_1 = \lambda_2 = -1/4$ . Baser arbeidet på modellen i (10). Men, vurder ytelsen både med og uten antagelsen  $\vartheta \approx \vartheta_{\text{ref}}$



$$K_p = k_p + s k_d, \quad I = \frac{\omega_0^2}{(s + \omega_0)^2}, \quad J = \frac{g}{s^2}$$

Hvis  $\vartheta \approx \vartheta_{\text{ref}}$  :  $I = 1$

$$M(s) = \frac{(k_p + s k_d) \frac{g}{s^2}}{1 + (k_p + s k_d) \frac{g}{s^2}} = \frac{(k_p + s k_d) g}{s^2 + (k_p + s k_d) g}$$

$$M(s) = \frac{(k_p + s k_d) \frac{1}{s^2}}{1 + (k_p + s k_d) \frac{g}{s^2}} = \frac{(k_p + s k_d) \frac{1}{s^2}}{s^2 + s g k_d + k_p g}$$

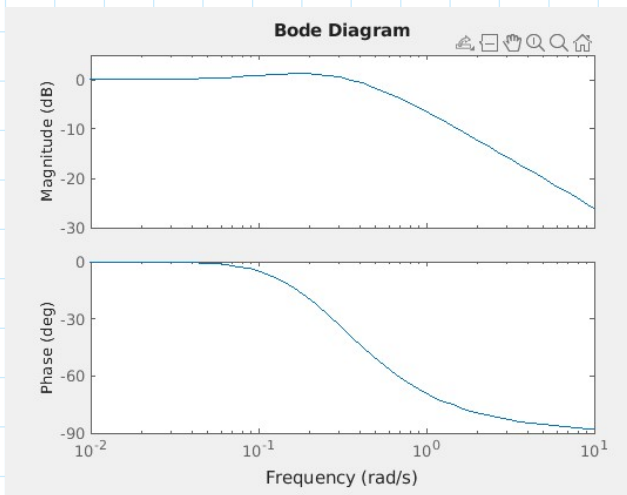
$$s^2 + s g k_d + k_p g = 0$$

$$= (s - \lambda)^2 = s^2 - 2\lambda s + \lambda^2 = 0$$

$$= s^2 + \frac{1}{2}s + \frac{1}{16} = 0$$

$$\Rightarrow g k_d = \frac{1}{2} \quad \wedge \quad k_p g = \frac{1}{16}$$

$$\underline{k_d = \frac{1}{20} \quad \wedge \quad k_p = \frac{1}{160}}$$



```
H = tf([g*(1/20), g*(1/160)], [1, g*(1/20), g*(1/160)]);
bode(H);
```

Ytelsen er god for lave frekvenser som er  $< 10^{-1}$   
 Jeg vil anta at ytelsen blir enda verre uten antakelsen  
 $\vartheta \approx \vartheta_{ref}$